

بررسی تغییرات طول مؤثر صفحات مثلثی شکل بر الگوی فرسایش و

رسوب‌گذاری در قوس ملایم ۹۰ درجه*

محمود شفاعی بجستان^(۱) محمد بهرامی یاراحمدی^(۲)

چکیده استفاده از سازه‌های اصلاح الگوی جریان در قوس‌ها از جمله روش‌های کنترل فرسایش در قوس‌ها محسوب می‌شود. صفحات مثلثی (سرریزهای مثلثی) از جمله این سازه‌ها می‌باشند که نسبت به دیگر سازه‌های اصلاح‌کننده‌ی الگوی جریان مانند آب‌شکن، عمق آب شستگی کمتری ایجاد می‌کنند. با توجه به این که اطلاعات اندکی در رابطه با الگوی فرسایش و رسوب‌گذاری اطراف صفحات مثلثی شکل وجود دارد بنابراین در این تحقیق به بررسی تغییرات طول مؤثر سازه بر الگوی فرسایش و رسوب‌گذاری در قوس ملایم ۹۰ درجه پرداخته شده است. لذا در این تحقیق صفحه‌ی مثلثی شکل به ازای طول‌های مؤثر مختلف (۲۳.۳، ۱۷.۵، ۱۴ و ۱۰ سانتی‌متر) و تحت شرایط هیدرولیکی متفاوت (اعداد فرود ۰/۱۹۴، ۰/۰۲۱۴، ۰/۰۲۳۳ و ۰/۰۲۵۳) مورد آزمایش قرار گرفت. در همه آزمایش‌ها تک صفحه‌ی مثلثی شکل با زاویه‌ی ۳۰ درجه نسبت به ساحل بالادست و در موقعیت بیشترین عمق آب شستگی قوس ۹۰ درجه‌ی ملایم یعنی زاویه‌ی ۷۲ درجه نصب گردید. عمق جریان در تمام آزمایش‌ها ثابت و برابر ۱۳ سانتی‌متر بوده است. در انتهای هر آزمایش توپوگرافی بستر برداشت گردید و با توجه به آن هندسه‌ی چاله‌ی فرسایشی و پشتیه‌ی رسوب‌گذاری تعیین گردید. نتایج این تحقیق نشان دادند که با کاهش طول مؤثر، حداکثر عمق آب شستگی کاهش می‌یابد. در اعداد فرود ۰/۱۹۴ و ۰/۰۲۱۴ روند تغییرات کمتر از اعداد فرود ۰/۰۲۳۳ و ۰/۰۲۵۳ است؛ به گونه‌ای که در اعداد فرود بالا اثر طول مؤثر بر حداکثر عمق آب شستگی اندک می‌باشد. رسوبات فرسایش یافته در راستای محور سازه توسط جریان نزدیک بستر به طرف ساحل بیرونی منتقل می‌شوند. نتایج نشان دادند که در عدد فرود ۰/۰۲۳۳ فاصله‌ی شروع رسوب‌گذاری از ابتدای سازه در طول مؤثر یک هفتم عرض مجرأ حادود ۰/۸ برابر طول مؤثر و در عدد فرود ۰/۰۲۵۳ در طول‌های مؤثر یک‌پنجم و یک‌هفتم عرض مجرأ به ترتیب حادود ۱ و ۲ برابر طول مؤثر سازه می‌باشد. از دیگر نتایج این تحقیق این بود که با کاهش طول مؤثر سازه حداکلف فاصله‌ی پشتیه‌ی رسوب‌گذاری از ساحل بیرونی کاهش می‌یافتد. فاصله‌ی پشتیه رسوی از ساحل بیرونی در طول‌های مؤثر یک‌پنجم و یک‌هفتم عرض مجرأ اختلاف اندکی با هم دارند و حدود ۱/۵-۲ درصد عرض فلوم می‌باشند.

واژه‌های کلیدی صفحات مثلثی شکل، سرریزهای مثلثی، طول مؤثر صفحه، قوس ملایم ۹۰ درجه، فرسایش و رسوب‌گذاری.

Study of the Effect of Length Variations of Triangular-Shaped Vanes on Erosion and Sedimentation Pattern in a 90° Mild Bend

M. Bahrami Yarahmadi

M. Shafai Bejestan

Abstract Application of structures of flow pattern modification is one of the erosion control methods in bends. Triangular vanes (triangular weirs) are among these structures which provide less scour depth compared to the other techniques such as spur dike. Since little information on erosion and sedimentation pattern around triangular vanes are available, this study was conducted to study the effect of structure effective length variations on erosion and sedimentation pattern. Therefore a triangular vane with different effective lengths (23.3, 17.5, 14 and 10 cm) was tested under different hydraulic conditions (Froude numbers 0.194, 0.214, 0.233 and 0.253). For all experiments, single triangular vane was installed with an angle of 30° relative to the upper bank and outside bend of flume in the 72° location which maximum scour depth is usually occurs. For all tests, flow depth was kept constant equal to 13 cm. At the end of each test bed topography was measured and from that the geometry of scour hole and point bar was measured. The results showed that maximum scour depth has been reduced by reducing of vane effective length. Variations of scour depth for low Froude numbers (0.194 and 0.214) was found to be more than high Froude numbers (0.233 and 0.253). Eroded sediments were transported downstream of vane and accumulated closed to the outer bank. The results showed that, in effective length 10 cm point bar distance from the beginning of vane was almost 0.8 times the effective length of vane for Froude number 0.233 and in effective lengths 14 and 10 cm was respectively, 1 and 2 times the effective length of vane for Froude number 0.253. In addition, minimum point bar distance from the outer bank has been reduced by reducing of vane effective length. For effective lengths of 14 and 10cm the point bar distance from the outer bank was almost 1.5-2 percent width of the flume.

Keywords Triangular-Shaped Vanes, Triangular Weirs, Vane Effective Length, 90° Mild Bend, Scour and Sedimentation.

★ تاریخ دریافت مقاله ۹۲/۵/۱۴ و تاریخ پذیرش آن ۹۲/۱۲/۳ می‌باشد.

(۱) نویسنده‌ی مسئول، دانشجوی دکتری سازه‌های آبی، دانشکده‌ی مهندسی علوم آب، دانشگاه شهید چمران اهواز.

(۲) استاد گروه سازه‌های آبی، دانشکده‌ی مهندسی علوم آب، دانشگاه شهید چمران اهواز.

تحقیقات صانعی و همکاران [۲] پیرزاده و شاملو [۳]، واقعی و همکاران [۴]، دهقانی و همکاران [۵]، موسوی و همکاران [۶]، عباسپور و همکاران [۷]، قدسیان و تهرانی [۸] کوتایاری و رانگا راجو [۹]، زیکانگ و همکاران [۱۰]، قدسیان و واقعی [۱۱]، گو و همکاران [۱۲]، ژانگ و همکاران [۱۳] اشاره کرد. نتایج تحقیقات آنها نشان داد که حداکثر عمق آب‌شستگی آب‌شکن‌های L و T شکل نسبت به آب‌شکن‌های مستطیلی ساده کمتر می‌باشد ولی در همه‌ی آنها حداکثر عمق آب‌شستگی در بالادست محور سازه رخ می‌دهد که از جهت تخریب و واژگونی سازه مناسب نمی‌باشد در ضمن آب‌شستگی در دماغه‌ی سازه به صورت وسیع به‌طرف بالادست و پایین دست سازه گسترش می‌شود و تا ساحل خارجی هم ادامه می‌یابد. علی‌رغم تحقیقات وسیع در خصوص آب‌شکن ولی تاکنون مشکل آب‌شستگی دماغه و گسترش آن، به‌طور کامل حل نشده‌است. در سال‌های اخیر تحقیقاتی در زمینه‌ی تغییر شکل سازه در داخل و خارج از کشور انجام شده است، که از یک طرف بتوان فرسایش در دماغه‌ی سازه را کاهش داد و از طرف دیگر بتوان کارایی سازه را از جهت اصلاح الگوی جریان و هدایت جریان به‌طرف مرکز رودخانه حفظ کرد.

عزیزی و همکاران [۱۴] در مطالعه بر روی تأثیر شکل صفحات مستغرق به این نتیجه رسیدند که صفحه‌ی مثلثی شکل نسبت به دیگر اشکال، دارای کمترین عمق آب‌شستگی است در حالی که میزان قدرت گرداب دنباله‌دار و یا به‌عبارتی عملکرد آن، تغییر ناچیزی نسبت به صفحه‌ی معمولی مستطیلی داشته است.

بویان و همکاران [۱۵] نیز با به‌کار بردن تک صفحه‌ی مثلثی متصل به ساحل در فلوم سینوسی با زوایای 20° و 30° درجه در خصوص اثر ارتفاع آنها بر الگوی فرسایش و رسوب گذاری مطالعاتی انجام دادند. آنها با مقایسه‌ی حداکثر عمق آب‌شستگی صفحات مثلثی شکل و آب‌شکن به این نتیجه رسیدند که صفحات مثلثی، عمق آب‌شستگی کمتری ایجاد می‌کنند.

مقدمه

در قوس رودخانه‌ها در اثر نیروی گریز از مرکز، گرادیان فشار جانبی در داخل مقطع به وجود می‌آید. با نزدیک شدن جریان به مرکز قوس، لایه‌های بالای سطح آب تحت تأثیر نیروی گریز از مرکز به طرف قوس خارجی و لایه‌های پایین تحت تأثیر گرادیان فشار جانبی به سمت قوس داخلی حرکت می‌کنند. این الگوی جریان در قوس را، جریان ثانویه می‌نامند. در اثر تقابل جریان طولی و جریان ثانویه، جریان حلزونی در قوس‌ها تشکیل می‌شود. در الگوی جریان ثانویه به‌دلیل حرکت رو به پایین جریان در محل پاشنه‌ی ساحل خارجی و برخورد آن به بستر در محل پاشنه‌ی ساحل و تغییر جهت آن، ذرات رسوبی در این مکان تحت تأثیر نیروهای هیدرودینامیک می‌توانند از جا کنده شوند. ذرات کنده‌شده توسط الگوی جریان حلزونی، به صورت مارپیچی منتقل می‌شوند. با فرسایش پاشنه‌ی ساحل در قوس خارجی، توده‌ی خاک ساحل ناپایدار شده و تخریب می‌شود.

برای تثبیت یا کنترل فرسایش در ساحل خارجی، یا باید ساحل و پاشنه در قوس خارجی با استفاده از مصالح مقاوم به فرسایش پوشش شوند تا بتوانند در مقابل نیروهای هیدرودینامیک وارد مقاومت کنند و یا الگوی جریان به‌گونه‌ای اصلاح شود که نرخ فرسایش کاهش یابد. سازه‌ی آب‌شکن از جمله سازه‌هایی است که به‌طور وسیع در جهت ساماندهی رودخانه‌ها مورد استفاده قرار می‌گیرد. این سازه با اصلاح الگوی جریان در قوس‌ها، چاله‌ی فرسایشی را از ساحل بیرونی به دماغه‌ی سازه منتقل می‌کند و باعث کنترل فرسایش در قوس خارجی می‌شود. از جمله مشکلات این سازه توسعه‌ی چاله‌ی فرسایشی دماغه‌ی آن می‌باشد که گاهی باعث تخریب سازه می‌شود که در این خصوص می‌توان به آب‌شکن‌های رودخانه‌ی زنجانرود اشاره کرد [۱]. طی سال‌های گذشته تحقیقات زیادی بر روی این سازه در جهت شناخت بیشتر الگوی فرسایش و رسوب گذاری در اطراف آن و کاهش مشکل آب‌شستگی دماغه صورت گرفته است که می‌توان به

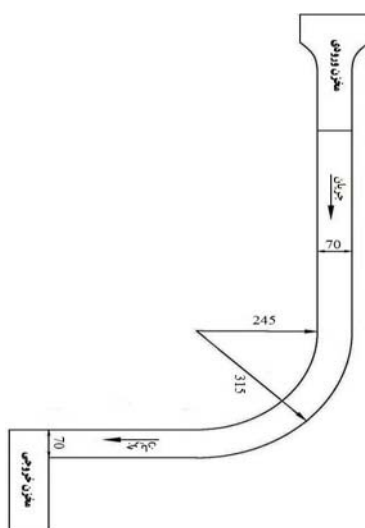
بیرونی، که همان طول تصویر شده صفحه می‌باشد) Effective Length) متفاوت تحت شرایط هیدرولیکی مختلف بررسی شده است.

مواد و روش‌ها

تجهیزات آزمایشگاهی

برای انجام آزمایش‌ها، از فلوم قوسی ۹۰ درجه با مقطع مستطیلی به عرض ۰/۷ متر، مستقر در آزمایشگاه هیدرولیک دانشگاه شهید چمران اهواز و با مشخصات نشان داده شده در شکل (۱) استفاده شد. نسبت شعاع به عرض (R/B) این فلوم ۴ می‌باشد که در گروه قوس‌های ملايم قرار می‌گيرد. آب مورد نياز از طریق سیستم پمپ مرکزی آزمایشگاه تأمین می‌شود. تنظیم دبی ورودی توسط شیرفلکه‌ی ورودی فلوم و تنظیم سطح آب درون فلوم، تو سطح دریچه‌ی کشویی انتهای آن انجام می‌شود. میزان دبی ورودی توسط دبی سنج اولتراسونیک با دقت $\pm 1\%$ میزان قرائت شده، اندازه‌گیری می‌شود.

مصالح مورد استفاده، ماسه با دانه‌بندی یکنواخت با قطر متوسط (d₅₀) معادل ۱/۵ میلی‌متر و ضریب انحراف استاندارد ($\sigma = \sqrt{d_{50}/d_{16}}$) معادل ۱/۲۲ می‌باشد که به ضخامت ۲۰ سانتی‌متر روی بستر فلوم گستردہ می‌شد و توسط اربه‌ی مخصوصی متراکم و تراز می‌گردید.



شکل ۱ پلان فلوم قوسی ۹۰ درجه مورد استفاده (در شکل فوق ابعاد بر حسب سانتی‌متر می‌باشند)

بهرامی یاراحمدی و همکاران [۱۶] به بررسی الگوی فرسایش و رسوب‌گذاری در اطراف تک آب‌شکن و سرریز مثلثی و مقایسه‌ی آنها با یکدیگر در قوس‌های ملايم ۹۰ درجه پرداختند. نتایج نشان داد که به طور متوسط ماکزیمم عمق آب‌شستگی و حجم رسوب فرسایش یافته صفحه‌ی مثلثی به ترتیب ۵۰ و ۴۵ درصد نسبت به آب‌شکن کاهش پیدا کرده است.

در تحقیق دیگری بهرامی یاراحمدی و همکاران [۱۷] با مطالعه بر روی تک‌صفحه‌ی مثلثی شکل در موقعیت ۷۲ درجه قوس نود درجه‌ی توپوگرافی بستر را در شرایطی که طول مؤثر سازه ثابت ولی زاویه‌ی قرارگیری آن متفاوت بود تحت شرایط هیدرولیکی متفاوت بررسی کردند و به این نتیجه رسیدند که زوایای ۲۳ و ۳۰ درجه نسبت به سایر زوایا کمترین عمق و حجم آب‌شستگی را دارند. در ضمن برخلاف سایر زوایا که آب‌شستگی دماغه به طرف سواحل بالادست و پایین‌دست صفحه گستردہ می‌شد در این زوایا چاله‌ی آب‌شستگی در پایین‌دست محور سازه و به موازات آن صورت می‌گرفت و حداقل عمق آب‌شستگی در پشت محور سازه رخ می‌داد. از دیگر نتایج تحقیق آنها این بود که رسوبات حاصل از فرسایش در پایین‌دست سازه نهشته شدند و فاصله‌ی پشتنه‌ی رسوبی از ساحل بیرونی در زوایای ۲۳ و ۳۰ درجه از سایر زوایا کمتر بوده است که این امر در جهت ساحل سازی در قوس بیرونی رودخانه می‌تواند بسیار مفید باشد.

نتایج تحقیقات فوق نشان داد که استفاده از صفحات مثلثی شکل (سرریزهای مثلثی) در قوس‌ها علاوه بر این که با اصلاح الگوی جریان در قوس باعث کنترل فرسایش قوس خارجی خواهد شد، عمق و حجم آب‌شستگی در دماغه‌ی آنها نسبت به آب‌شکن‌های مستطیلی کمتر می‌باشد. به منظور تکمیل اطلاعات در خصوصی کاربرد صفحات مثلثی شکل، در این مقاله الگوی فرسایش و رسوب‌گذاری در اطراف صفحات مثلثی شکل نصب شده در موقعیت ۷۲ درجه قوس ملايم نود درجه با زاویه‌ی ثابت ۳۰ درجه ولی طول‌های مؤثر (فاصله‌ی نوک صفحه در بستر از ساحل

انتهای فلوم کاملاً بسته بود با باز کردن شیر فلکه‌ی ورودی فلوم، جریان به آرامی وارد فلوم می‌شد به گونه‌ای که تغییری در توپوگرافی بستر ایجاد نکند. پس از بالا آمدن سطح آب، جریان به صورت تدریجی به دبی مورد نظر افزایش می‌یافتد سپس توسط دریچه‌ی کشویی، عمق جریان در حد مورد نظر تنظیم می‌گشت. پس از پایان یافتن مدت زمان آزمایش، ابتدا دریچه‌ی کشویی به آرامی پایین آورده می‌شد سپس شیر فلکه‌ی ورودی فلوم بسته می‌شد و اجازه داده می‌شد تا جریان به صورت تدریجی خارج و بستر فلوم زهکشی شود. پس از زهکشی شدن بستر، توپوگرافی بستر شکل گرفته با استفاده از متر لیزری با دقت ۱ میلی‌متر برداشت می‌شد.



شکل ۲ نحوه‌ی قرارگیری صفحه‌ی مثلثی‌شکل در قوس ملايم ($L_e=10\text{ cm}$, $\theta=72^\circ$) درجه ۹۰

نتایج و بحث

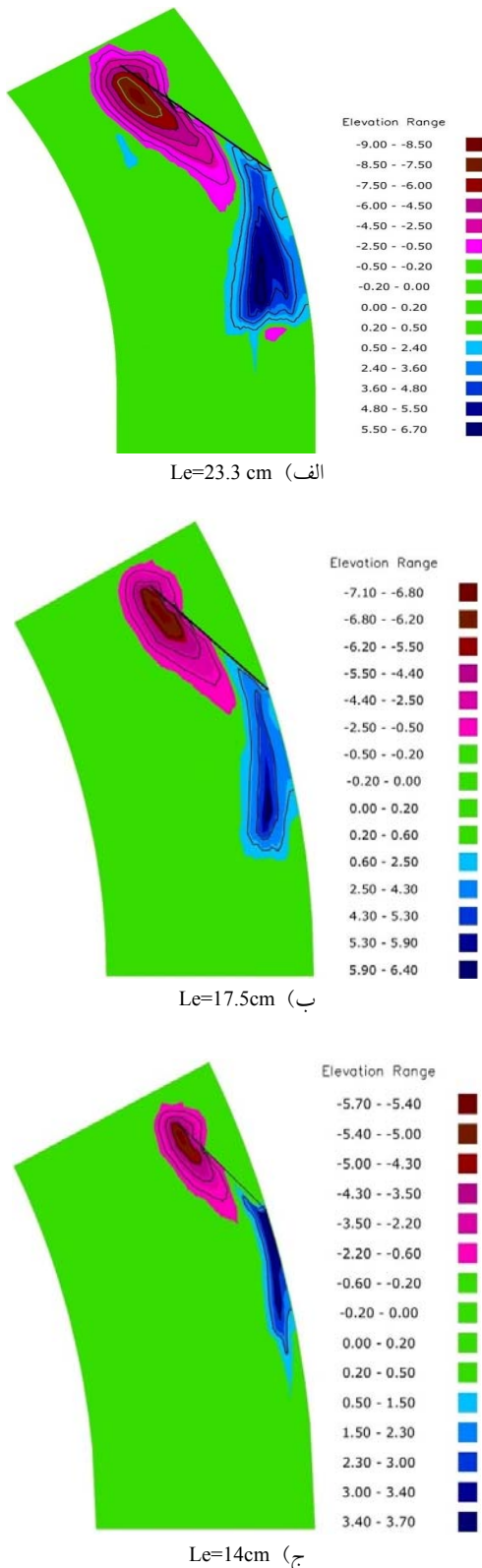
الگوی فرمایش و رسوب گذاری اطراف تک صفحه
در این تحقیق، توپوگرافی بستر برداشت شده، برای تمام آزمایش‌ها به کمک نرم‌افزار Civil3D ترسیم و به کمک آن داده‌های مورد نیاز از قبیل ابعاد چاله‌ی فرمایشی و پشتی رسوی محاسبه گردید. به عنوان نمونه شکل (۳) تغییرات توپوگرافی بستر را برای طول‌های مؤثر مختلف برای عدد فرود ۲۱۴ درجه نشان می‌دهد. همان‌گونه که از این شکل‌ها مشخص است در بالادست و پایین‌دست محل پنجه‌ی سازه چاله‌ی فرمایشی تشکیل می‌شود. در بالادست محور سازه به علت برخورد جریان با صفحه، گردابه‌های قائم رو به پایین شکل می‌گیرد که باعث

عمق آب در مسیر مستقیم بالادست قوس در تمام آزمایش‌ها ثابت و برابر ۱۳ سانتی‌متر بوده است. عمق آب به گونه‌ای انتخاب شد که بالاترین تراز تاج سازه (که چسبیده به ساحل بیرونی است) و تراز آب، یکسان باشند. در تمام آزمایش‌ها از طول‌های مؤثر (فاصله‌ی نوک صفحه در بستر از ساحل بیرونی، که همان طول تصویر شده‌ی صفحه می‌باشد) یک سوم، یک‌چهارم، یک‌پنجم و یک‌هفتم عرض فلوم که معادل $23/3$ ، $17/5$ ، $14/10$ و $10/14$ سانتی‌متر می‌باشد به ازای دبی‌های $20/214$ ، $22/24$ و $26/26$ لیتر در ثانیه (اعداد فرود $0/253$ و $0/233$) در شرایط آب زلال استفاده شد. در همه‌ی طول‌های مؤثر زاویه‌ی سازه نسبت به ساحل بالادست 30° درجه بوده است. در این تحقیق چون هدف مقایسه تغییرات توپوگرافی بستر در طول‌های مؤثر و شرایط هیدرولیکی متفاوت می‌باشد بنابراین زمان انجام هر آزمایش ۳ ساعت در نظر گرفته شد [18]. صفحه‌ی مثلثی‌شکل مورد استفاده در این تحقیق، از جنس پلکسی گلاس و به ضخامت ۵ میلی‌متر بود. با درنظر گرفتن محدوده‌ی فرمایشی براساس نظر اداره‌ی مهندسی ارتش آمریکا (USACE) و نیز آزمایش‌های اولیه بدون حضور صفحه، محدوده‌ی حداکثر چاله‌ی فرمایش پذیر در قوس تعیین گردید [19]. این محدوده با نتیجه‌ی تحقیقات عباس‌پور و هم‌کاران [7] و مو سوی و قد سیان [20] در قوس‌های ملايم ۹۰ درجه که محدوده‌ی حداکثر آب‌شستگی را بین زاویه 60° تا 90° درجه گزارش کردند هم خواهد دارد.

بنابراین در این مطالعه تک صفحه در موقعیت ۷۲ درجه در قوس خارجی ($\theta=72^\circ$) نصب گردید. در شکل (۲) نحوه‌ی قرارگیری صفحه‌ی مثلثی‌شکل برای طول مؤثر یک‌هفتم عرض مجرأ (10 cm) در فلوم قوسی ۹۰ درجه قبل از آب شستنگی، نشان داده شده است.

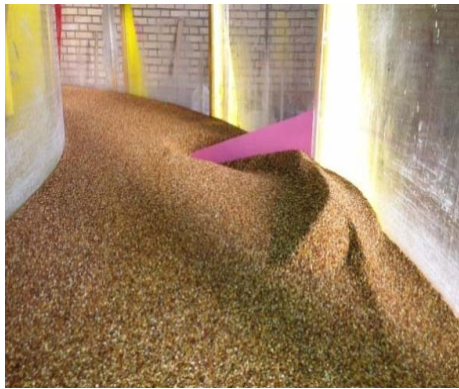
نحوه‌ی انجام آزمایش‌ها

نحوه‌ی انجام هر آزمایش بدین‌گونه بود که ابتدا صفحه‌ی مثلثی‌شکل در موقعیت مورد نظر نصب گردید و پس از تسطیح بستر، در حالی که دریچه‌ی کشویی



آب شستگی در بالادست محور سازه می‌شوند. با کاهش طول مؤثر سازه آب شستگی بالادست محور سازه به ساحل خارجی نزدیک‌تر می‌شود. هم‌چنین در هر طول مؤثر نیز با افزایش عدد فرود ابعاد چاله‌ی فرسایشی بزرگ‌تر می‌شود و به ساحل بیرونی نزدیک‌تر می‌گردد. در طول‌های مؤثر یک‌پنجم و یک‌هفتم عرض ماجرا به‌ازای اعداد فرود $0/233$ و $0/253$ چاله‌ی فرسایشی بالادست محور صفحه تا ساحل بیرونی گسترش یافته است. مشاهدات آزمایشگاهی (با تزریق ماده‌ی رنگی و استفاده از یونولیت) نشان داد که تک‌صفحه‌ی مثلثی‌شکل باعث انحراف جریان از ساحل بیرونی به طرف مرکز فلوم می‌گردد. در پایین‌دست محور سازه جریان ثانویه‌ی پادساعتگرد (خلاف جهت چرخش جریان ثانویه‌ی اصلی قوس) به وجود می‌آید که مانع از برخورد جریان ثانویه‌ی اصلی قوس (ساعتگرد) و در نتیجه جریان حلزونی به قوس خارجی می‌شود. در محل برخورد این دو جریان ثانویه، در بستر فرسایش رخ می‌دهد که باعث به وجود آمدن آب‌شستگی پایین‌دست محور سازه می‌باشد. علاوه بر این جریان عبوری از لبه‌ی صفحه نیز با برخورد بر بستر در اثر گردابهای که به وجود می‌آید باعث فرسایش بستر نیز می‌شود. همان‌گونه که مشاهده می‌شود بیشتر آب‌شستگی در پایین‌دست محور سازه و به موازات آن می‌باشد. در هر طول مؤثر با افزایش عدد فرود چاله‌ی فرسایشی پایین‌دست محور سازه بزرگ‌تر می‌شود. با کاهش طول مؤثر سازه، چاله‌ی فرسایشی به محل نصب صفحه در ساحل بیرونی ($\theta = 72^\circ$) و هم‌چنین ساحل بیرونی پایین‌دست محل نصب صفحه، نزدیک‌تر می‌شود به‌گونه‌ای که در طول مؤثر یک‌هفتم عرض ماجرا به‌ازای اعداد فرود $0/233$ و $0/253$ چاله‌ی فرسایشی به ساحل بیرونی برخورد کرده است. طول گسترش چاله‌ی فرسایشی از محل نصب صفحه ($\theta = 72^\circ$) در ساحل بیرونی برای اعداد فرود $0/233$ و $0/253$ به ترتیب حدود $0/8$ و 2 برابر طول مؤثر سازه می‌باشد.

سازه و نیز محل نصب سازه می شود که در ساماندهی رودخانه ها حائز اهمیت است.

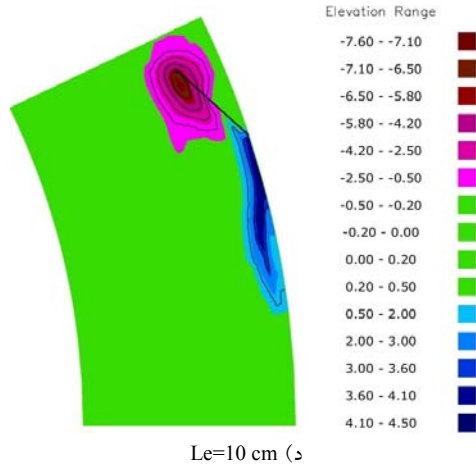


شکل ۴ فرسایش و رسوب گذاری اطراف تکصفحه میثا
به ازای طول مؤثر یکچهارم (۱۷/۵ cm) و عدد فرود ۰/۲۱۴

تغییرات طول مؤثر صفحه

طول های مؤثر یکسوم، یکچهارم، یکپنجم و یک هفتم عرض مجرأ در واقع طول های مؤثر اولیه صفحه قبل از فرسایش بستر در باشند. با شروع فرسایش در اطراف صفحه، بخشی از صفحه که درون بستر ماسه ای قرار داشت، نمایان می شود و طول مؤثر اولیه (قبل از فرسایش) افزایش می یابد. در شکل (۵) تغییرات طول مؤثر به ازای اعداد فرود مختلف ارائه شده است. محور قائم آن تغییرات طول مؤثر است، که برابر است با اختلاف طول مؤثر نهایی (بعد از فرسایش) و طول مؤثر اولیه (قبل از فرسایش)، و محور افقی آن طول مؤثر اولیه صفحه می باشد.

با دقت در شکل ملاحظه می کنید که در اعداد فرود ۰/۱۹۴ و ۰/۲۱۴، روند تغییرات ملائم می باشد یعنی برای هر کدام از طول های مؤثر مقداری که به طول آنها اضافه می شود تقریباً یکسان است به عنوان مثال به ازای عدد فرود ۰/۱۹۴ در اثر فرسایش به طول های مؤثر یکسوم، یکچهارم، یکپنجم و یک هفتم حدوداً ۲ سانتی متر اضافه می شود. با افزایش عدد فرود روند



شکل ۳ تغییرات توپوگرافی بستر در آزمایش های این تحقیق
برای عدد فرود ۰/۲۱۴

رسوبات حاصل از فرسایش بستر به وسیله ای جریان نزدیک بستر در یک مسیر غیر مستقیم و به موازات محور سازه حمل می شوند و در ساحل خارجی انباشته می گردند و با حرکت به طرف پایین دست به تدریج از ساحل بیرونی فاصله می گیرند. در همه طول های مؤثر رسوبات در ساحل بیرونی ترسیب پیدا کردنده که این امر در پروژه های مربوط به ساحل سازی می تواند مدنظر قرار گیرد.

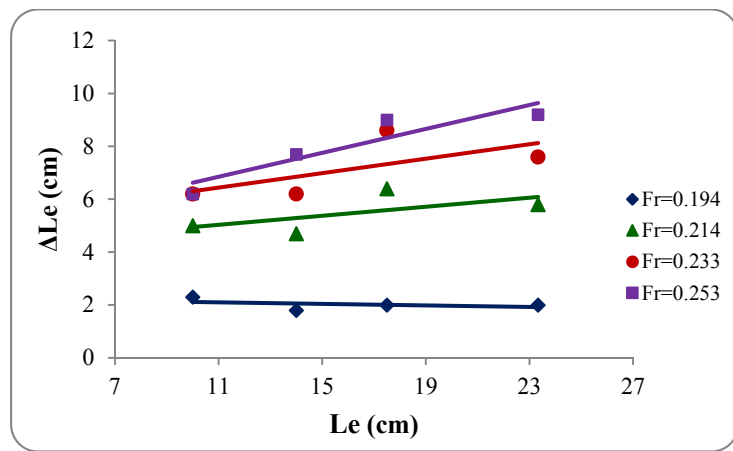
در شکل (۴) نمونه ای از فرسایش و رسوب گذاری اطراف تکصفحه میثا به ازای طول مؤثر یکچهارم عرض مجرأ (۱۷/۵ سانتی متر) و به ازای عدد فرود ۰/۲۱۴ نشان داده شده است.

نتایج فوق مربوط به تکصفحه بود و در صورتی که این صفحات به صورت سری نصب شوند، توسعه چاله ای فرسایش در محل پنجه به صورت طولی گسترش پیدا خواهد کرد و عملاً خط القعر رودخانه به مناطق میانی رودخانه منتقل می شود که این امر از تخریب ساحل خارجی جلوگیری می کند و ضمناً شرایط لازم را برای ناوی بری نیز فراهم خواهد کرد. رسوب گذاری نیز در بین صفحات منجر به ایجاد ساحل جدید و مانع از فرسایش در بالادست محور

طول آن نیز بیشتر می‌شود به گونه‌ای که در عدد فرود $0/253$ درصد افزایش طول، طول‌های مؤثر یک‌سوم بیش از یک‌هفتم می‌باشد بنابراین در اعداد فرود بالا اثر افزایش طول مؤثر بر فرسایش و ابعاد چاله‌ی فرسایشی، برای طول‌های مؤثر بالا بیش از طول‌های مؤثر کم می‌باشد. نتیجه‌ای که می‌توان گرفت این است که هرچقدر طول مؤثر اولیه افزایش یابد، درصد افزایش طول آن بیشتر خواهد بود و طول مؤثر نهایی آن نیز بزرگ‌تر خواهد بود بنابراین فرسایش و ابعاد چاله‌ی فرسایشی آن نیز بزرگ‌تر خواهد بود. از دیگر نتایج شکل (۵) این است که با افزایش عدد فرود درصد افزایش طول افزایش می‌یا بد الته این افزایش طول به‌ازای افزایش عدد فرود در طول‌های مؤثر پایین، کمتر می‌باشد.

در جدول (۱) درصد افزایش طول مؤثر نسبت به طول مؤثر اولیه برای هر کدام از طول‌ها به‌ازای اعداد فرود مختلف ذکر گردیده است.

تغییرات اختلاف طول مؤثر اولیه و نهایی بیشتر می‌شود به گونه‌ای که عدد فرود $0/253$ بیشترین روند تغییرات را دارد. به عنوان نمونه در عدد فرود $0/253$ در اثر فرسایش به طول‌های مؤثر یک‌سوم و یک‌هفتم به ترتیب $9/2$ و $6/2$ سانتی‌متر اضافه شده است. هر چقدر طول مؤثر بیشتر باشد به علت این‌که تنگ‌شدگی مقطع بیشتر خواهد بود بنابراین فرسایش و ابعاد چاله‌ی فرسایشی بزرگ‌تر خواهد بود. در اعداد فرود $0/194$ و $0/214$ به عملت این‌که در هر عدد فرود تقریباً به همه‌ی طول‌های مؤثر به یک اندازه به طول‌های مؤثر اولیه اضافه می‌شود لذا افزایش طول مؤثر در همه‌ی طول‌ها به یک اندازه بر فرسایش و چاله‌ی فرسایشی تأثیر خواهد داشت ولی در اعداد فرود بالا چون به یک اندازه به طول‌های مؤثر اضافه نمی‌شود بنابراین هر کدام که درصد بیشتری به طول مؤثر آن اضافه شده به همان اندازه بر فرسایش و چاله‌ی فرسایش تأثیر می‌گذارند. در اینجا این نکته قابل ذکر است که در اعداد فرود بالا هرچقدر طول مؤثر اولیه افزایش یابد درصد افزایش



شکل ۵ تغییرات اختلاف طول مؤثر در مقابل طول مؤثر اولیه‌ی صفحه برای اعداد فرود مختلف

مؤثر حداکثر عمق آب شستگی کاهش می‌یابد. در اعداد فرود ۰/۱۹۴ و ۰/۲۱۴ روند تغییرات بیش از اعداد فرود ۰/۲۳۳ و ۰/۲۵۳ می‌باشد یعنی در اعداد فرود ۰/۱۹۴ و ۰/۲۱۴ اثر طول مؤثر بر حداکثر عمق آب شستگی بیش از اعداد فرود ۰/۲۳۳ و ۰/۲۵۳ می‌باشد. در اعداد فرود ۰/۲۳۳ و ۰/۲۵۳ طول مؤثر تأثیر اندکی بر افزایش و یا کاهش حداکثر عمق آب شستگی دارد.

با کاهش طول مؤثر سازه، مقدار تنگ شدگی مقطع جریان کاهش می‌یابد بنابراین سرعت جریان و در نتیجه تنش و قدرت گردابه‌ها در مقطع تنگ شده کاهش می‌یابد که نتیجه‌ی آن کاهش حداکثر عمق آب شستگی خواهد بود ولی با کاهش طول مؤثر، مقدار شیب تاج سازه افزایش می‌یابد. هرچقدر شیب تاج سازه بیشتر شود قدرت گردابه‌ای که در دماغه سازه تشکیل می‌شود بیشتر می‌شود که نتیجه‌ی آن افزایش حداکثر عمق آب شستگی در دماغه‌ی خواهد بود. بنابراین با کاهش طول مؤثر این دو الگوی متفاوت اتفاق خواهد افتاد و روی یکدیگر اثر می‌گذارند. در اعداد فرود بالا اثر این دو الگو روی یکدیگر زیاد است و تقریباً باعث خشی کردن اثر یکدیگر شده‌اند به همین دلیل تغییرات طول مؤثر که با تغییرات شیب تاج سازه همراه است تأثیر کمی بر افزایش و یا کاهش حداکثر عمق آب شستگی دارد. در رابطه با افزایش طول مؤثر در اثر فرسایش، همان‌گونه که ذکر گردید در اعداد فرود پایین تقریباً به یک اندازه به طول‌های مؤثر اضافه می‌شود بنابراین افزایش طول مؤثر اثر یکسانی دارد ولی در اعداد فرود بالا با افزایش طول مؤثر میزان بیشتری به طول مؤثر اضافه می‌شود که می‌تواند به فرسایش بیشتر، کمک کند. ولی آن‌چه که بر فرایش و حداکثر عمق فرایش مؤثر می‌باشد تأثیر دو الگوی طول مؤثر و شیب تاج سازه می‌باشد که در اعداد فرود بالا تقریباً به یک اندازه بر فرایش اثر می‌گذارند به همین علت تغییرات حداکثر عمق فرایش کم می‌باشد.

به طور متوسط حداکثر عمق آب شستگی طول‌های مؤثر یکسوم، یک‌چهارم، یک‌پنجم و یک‌هفتم عرض مجرما به ترتیب ۰/۴، ۰/۵، ۰/۵۵ و ۰/۸ برابر طول مؤثر

جدول ۱ درصد افزایش طول مؤثر نسبت به طول مؤثر اولیه بهازای طول‌های مؤثر و اعداد فرود مختلف

θ	Le (cm)	Fr	ΔLe (cm)	درصد افزایش
۳۰	۲۲/۳۳	۰/۱۹۴	۲	۸/۶
۳۰	۲۲/۳۳	۰/۲۱۴	۵/۸	۲۴/۸۶
۳۰	۲۲/۳۳	۰/۲۳۳	۷/۶	۳۲/۶
۳۰	۲۲/۳۳	۰/۲۵۳	۹/۲	۳۹/۴۳
۳۰	۱۷/۵	۰/۱۹۴	۲	۱۱/۴۳
۳۰	۱۷/۵	۰/۲۱۴	۷/۴	۳۶/۶
۳۰	۱۷/۵	۰/۲۳۳	۸/۶	۴۹/۱۴
۳۰	۱۷/۵	۰/۲۵۳	۹	۵۱/۴۳
۳۰	۱۴	۰/۱۹۴	۱/۸	۱۲/۸۶
۳۰	۱۴	۰/۲۱۴	۴/۷	۳۳/۶
۳۰	۱۴	۰/۲۳۳	۷/۲	۴۴/۳
۳۰	۱۴	۰/۲۵۳	۷/۷	۵۵
۳۰	۱۰	۰/۱۹۴	۲/۳	۲۲
۳۰	۱۰	۰/۲۱۴	۵	۵۰
۳۰	۱۰	۰/۲۳۳	۷/۲	۶۲
۳۰	۱۰	۰/۲۵۳	۷/۲	۶۲

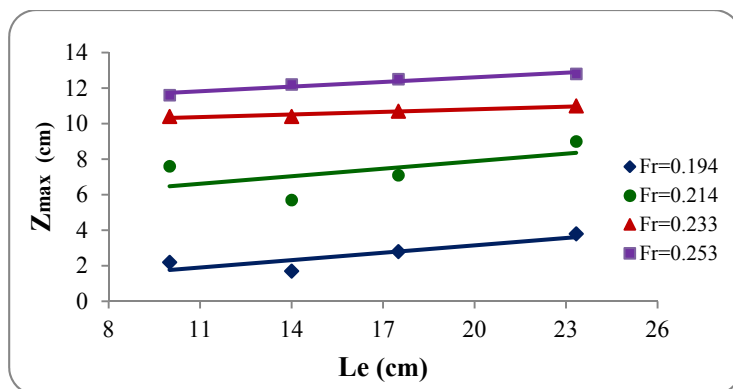
تغییرات حداکثر عمق آب شستگی

آب شستگی در اطراف سازه‌هایی که در برابر جریان قرار می‌گیرند اگر بیش از مقدار نفوذ سازه در بستر باشد، باعث واژگونی و تخریب سازه می‌شود بنابراین بررسی حداکثر عمق آب شستگی و عوامل مؤثر بر آن بسیار مهم می‌باشد. در شکل (۶) تغییرات حداکثر عمق آب شستگی بهازای طول‌های مؤثر مختلف ترسیم شده است. همان‌گونه که ملاحظه می‌شود، در همه‌ی طول‌های مؤثر با افزایش عدد فرود، حداکثر عمق آب شستگی افزایش می‌یابد. با افزایش دبی جریان بهازای عمق ثابت، سرعت جریان و در نتیجه عدد فرود جریان افزایش می‌یابد. درنتیجه تنش بررشی و قدرت گردابه‌ها زیاد می‌شود. به همین علت است که با افزایش عدد فرود جریان، حداکثر عمق آب شستگی افزایش می‌یابد.

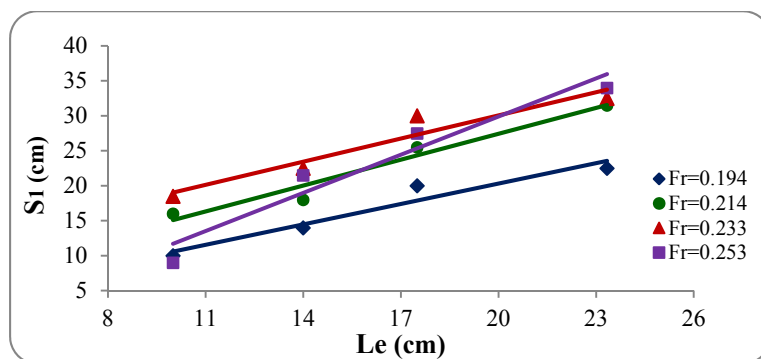
از دیگر نتایج شکل (۶) این است که در همه‌ی اعداد فرود طول مؤثر یکسوم عرض مجرما دارای بیشترین عمق آب شستگی می‌باشد و با کاهش طول

یک هفتم به ترتیب ۸۷، ۷۴ و ۸۲ درصد حداکثر عمق آب شستگی طول مؤثر یک سوم عرض ماجرا می‌باشد.

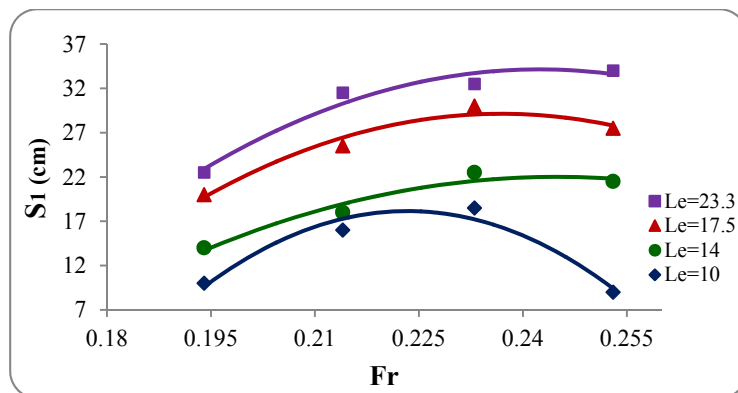
سازه می‌باشد. در ضمن به طور متوسط حداکثر عمق آب شستگی طول‌های مؤثر یک‌چهارم، یک‌پنجم و



شکل ۶ تغییرات حداکثر عمق آب شستگی در مقابل طول مؤثر صفحه برای اعداد فرود مختلف



شکل ۷ تغییرات فاصله‌ی حداکثر عمق آب شستگی از ساحل بیرونی در مقابل طول مؤثر برای اعداد فرود مختلف



شکل ۸ تغییرات فاصله‌ی حداکثر عمق آب شستگی از ساحل بیرونی در مقابل اعداد فرود برای طول‌های مؤثر مختلف

به طور متوسط فاصله‌ی حداکثر عمق آب شستگی طول های مؤثر یکسوم، یکچهارم، یکپنجم و یکهفتم عرض مgra از ساحل بیرونی بین $1/3$ تا $1/5$ برابر طول مؤثر سازه می‌باشد.

موقعیت پشته‌ی رسوب‌گذاری شده

در بحث ساماندهی رودخانه‌ها در قوس‌ها، علاوه بر کنترل فرسایش قوس خارجی با استفاده از سازه‌های اصلاح‌کننده‌ی الگوی جريان و انتقال چاله‌ی فرسایشی از ساحل خارجی به طرف مرکز رودخانه، ایجاد ساحل جدید در قوس خارجی رودخانه (ساحل‌سازی) می‌تواند بسیار حائز اهمیت باشد. رسوبات حاصل از فرسایش در پنجه‌ی سازه و نیز رسوباتی که از بالادست به سازه نزدیک می‌شوند تحت تأثیر الگوی خاص جريانی که در اطراف سازه تشکیل می‌شود در پایین دست آن تر سیب می‌کنند. فاصله‌ی رسوبات تر سیب یافته از ساحل بیرونی و محل نصب سازه می‌تواند ملاکی برای تشخیص کارآمدی هر سازه در ایجاد ساحل جدید باشد. تغییر پارامترهای هیدرولیکی جريان و هندسی سازه، بر ابعاد پشته‌ی رسوبی و محل آن نسبت به سازه و ساحل بیرونی تأثیرگذار می‌باشد.

در صفحات مثلثی شکل بهازای زاویه‌ی 30° درجه، رسوبات حاصل از فرسایش در پنجه‌ی سازه و رسوبات بستر نزدیک‌شونده از بالادست، در راستای محور سازه توسط جريان نزدیک بستر به‌طرف ساحل بیرونی انتقال داده می‌شوند و در نزدیکی ساحل بیرونی و پایین دست صفحه تشكیل پشته‌ی رسوبی می‌دهند. ابعاد پشته‌ی رسوبی به حجم رسوب فرسایش یافته و نیز بار بستر نزدیک‌شونده بستگی دارد؛ هر چقدر میزان این رسوبات بیشتر باشد ابعاد پشته رسوبی بزرگ‌تر می‌شود.

نتایج نشان داد که شروع رسوب‌گذاری برای طول‌های مؤثر یکسوم و یکچهارم عرض مgra بهازای همه‌ی اعداد فرود، همان محل نصب سازه ($\theta = 72^\circ$) در ساحل بیرونی می‌باشد. برای طول‌های مؤثر یکپنجم بهازای اعداد فرود $0/194$ ، $0/214$ و $0/233$

موقعیت حداکثر عمق آب شستگی

موقعیت حداکثر عمق آب شستگی معیاری برای تعیین میزان فاصله‌ی عمیق‌ترین چاله‌ی فرسایشی نسبت به ساحل خارجی می‌باشد که مسلماً دورتر بودن آن مزیتی است که باعث ایمن‌تر شدن ساحل می‌گردد. از این رو تغییرات فاصله‌ی محل حداکثر عمق آب شستگی نسبت به ساحل بیرونی به‌ازای طول‌های مؤثر و اعداد فرود مختلف در اشکال (۷) و (۸) نشان داده شده است. شکل (۷) نشان می‌دهد که با افزایش طول مؤثر، حداکثر عمق آب شستگی نیز از ساحل دورتر شده است به‌گونه‌ای که حداکثر عمق آب شستگی در طول مؤثر یکسوم عرض مgra بیشترین فاصله و در طول مؤثر یکهفتم عرض مgra کمترین فاصله را از ساحل دارد. روند تغییرات در سه عدد فرود $0/194$ ، $0/214$ و $0/233$ تقریباً یکسان است هرچند که در عدد فرود $0/253$ در برخی از آزمایش‌های میانی نوساناتی وجود دارد.

موقعیت حداکثر عمق آب شستگی در بیشترین طول مؤثر (طول مؤثر یکسوم عرض مgra) تقریباً برای اعداد فرود $0/214$ ، $0/233$ و $0/253$ یکسان و برابر حدود 33 سانتی‌متر می‌باشد (معادل $1/4$ برابر طول مؤثر سازه) و در عدد فرود $0/194$ مقدار آن حدود 23 سانتی‌متر (معادل 1 برابر طول مؤثر سازه) است. در سایر طول‌های مؤثر بیشترین فاصله حداکثر عمق آب شستگی از ساحل بیرونی در عدد فرود $0/233$ رخداده است.

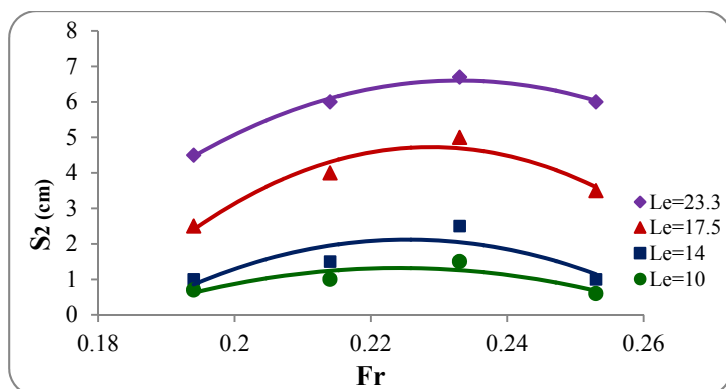
محاسبات نشان داد که در همه‌ی آزمایش‌ها، حداکثر عمق فرسایش در پایین دست محور سازه (پشت سازه) اتفاق افتاده است بنابراین الگوی جريان اطراف صفحه‌ی مثلثی به‌گونه‌ای است که حداکثر عمق آب شستگی در پشت محور آن رخ می‌دهد. با افزایش عدد فرود میزان آب شستگی و طول مؤثر سازه زیاد می‌گردد بنابراین چاله‌ی فرسایشی در راستای محور سازه به‌طرف بالادست گسترش می‌یابد در نتیجه حداکثر عمق فرسایش که در پشت محور سازه تشکیل می‌شود، از ساحل فاصله می‌گیرد.

طول‌های مؤثر یکسوم و یک‌هفتم عرض ماجرا می‌باشد. حرکت رسوبات در زاویه‌ی 30° درجه در یک مسیر غیرم ستقيم و به موازات محور سازه و به طرف ساحل بیرونی می‌باشد با کاهش طول مؤثر درواقع فاصله‌ی نوک سازه و محل آب‌شستگی به ساحل بیرونی نزد یک‌تر می‌شود بنابراین تحت شرایط هیدرولیکی یکسان (عدد فرود جریان و درنتیجه قدرت حمل رسوب یکسان باشد) رسوبات فرسایش یافته در طول‌های مؤثر کوچک‌تر، زودتر به ساحل بیرونی می‌رسند و ترسیب می‌یابند به همین دلیل است که فاصله‌ی پشتی رسوب‌گذار از ساحل بیرونی با کاهش طول مؤثر کاهش می‌یابد. در ضمن نتایج نشان می‌دهد که در همه‌ی طول‌های مؤثر روند تغییرات فاصله‌ی پشتی رسوبی از ساحل بیرونی به‌ازای اعداد فرود مختلف، صعودی نزولی می‌باشد. به‌طوری‌که بیشترین فاصله در عدد فرود $0/233$ و کمترین فاصله در عدد فرود $0/194$ رخ داده است.

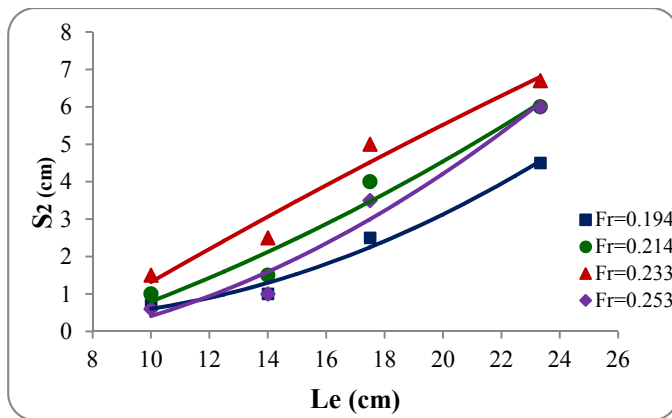
مشاهدات بصری و اندازه‌گیری‌ها نشان داد که حداقل فاصله‌ی پشتی رسوب‌گذار از ساحل بیرونی، در ابتدای پشتی رسوب‌گذار قرار دارد و با حرکت به‌طرف پایین‌دست فاصله‌ی پشتی رسوب‌گذاری شده از ساحل بیرونی، به تدریج افزایش می‌یابد.

شروع تر سیب رسوبات نیز همان محل نصب سازه ($\theta = 72^\circ$) در ساحل بیرونی می‌باشد ولی در عدد فرود $0/253$ شروع رسوب‌گذاری در فاصله‌ی حدود ۱ برابر طول مؤثر ($14/14$ سانتی‌متر) در پایین‌دست محل نصب سازه می‌باشد. برای طول مؤثر یک‌هفتم عرض ماجرا به‌ازای اعداد فرود $0/194$ و $0/214$ شروع رسوب‌گذاری نیز همان محل نصب سازه در ساحل بیرونی است ولی در اعداد فرود $0/223$ و $0/253$ به‌علت برخورد چاله‌ی فرسایشی پایین‌دست محور سازه با ساحل بیرونی پایین‌دست سازه، فاصله‌ی شروع رسوب‌گذاری از محل نصب سازه در ساحل بیرونی به‌ترتیب حدود $0/8$ و 2 برابر طول مؤثر ($7/7$ و $20/57$ سانتی‌متر) سازه می‌باشد در واقع چاله‌ی فرسایشی پایین‌دست سازه در اعداد فرود $0/223$ و $0/253$ به اندازه‌ی حدود $0/8$ و 2 برابر طول مؤثر سازه تا پایین‌دست سازه در ساحل بیرونی گسترش می‌یابد.

در اشکال (۹) و (۱۰) نمودارهای فاصله‌ی پشتی رسوب‌گذاری شده بعد از سازه، از ساحل بیرونی به‌ازای اعداد فرود و طول‌های مؤثر مختلف نشان شده‌است. نتایج این نمودارها نشان می‌دهد که در همه‌ی اعداد فرود با کاهش طول مؤثر سازه، فاصله‌ی پشتی رسوب‌گذار از ساحل بیرونی کاهش می‌یابد به‌گونه‌ای که بیشترین و کمترین فاصله‌ی پشتی رسوب‌گذار از ساحل بیرونی به‌ترتیب متعلق به



شکل ۹ تغییرات حداقل فاصله‌ی پشتی رسوب‌گذاری شده‌ی پایین‌دست سازه از ساحل بیرونی در مقابل اعداد فرود برای طول‌های مؤثر مختلف



شکل ۱۰ تغییرات حداقل فاصله‌ی پشتۀ رسوب‌گذاری شده‌ی پایین دست سازه از ساحل بیرونی در مقابل طول مؤثر برای اعداد فرود مختلف

محل برخورد دو جریان ثانویه‌ی فوق‌الذکر فرسایشی در بستر رخ داد که با کاهش طول مؤثر مقدار حداقل عمق فرسایش کاهش یافت. در اعداد فرود ۰/۱۹۴ و ۰/۲۱۴ اثر طول مؤثر بر حداقل عمق آب شستگی بیش از اعداد فرود ۰/۲۳۳ و ۰/۲۵۳ بود در واقع در اعداد فرود بالا اثر تغییر طول مؤثر بر تغییرات حداقل عمق آب شستگی اندک می‌باشد. به‌طور متوسط حداقل عمق آب شستگی طول‌های مؤثر یک‌چهارم، یک‌پنجم و یک‌هفتم درصد حداقل عمق آب شستگی طول مؤثر یک سوم عرض مجرماً باشد. نتایج نشان داد که با کاهش طول مؤثر فاصله‌ی حداقل عمق آب شستگی از ساحل بیرونی کاهش یافت و به‌طور متوسط فاصله‌ی حداقل عمق آب شستگی طول‌های مؤثر یک‌سوم، یک‌چهارم، یک‌پنجم و یک‌هفتم عرض مجرماً از ساحل بیرونی ۱/۳-۱/۵ برابر طول مؤثر سازه بود. رسوبات حاصل از فرسایش توسط جریان نزدیک بسته و به موازات محور سازه به طرف ساحل بیرونی منتقل شدند و به صورت پشتۀ رسوی در پایین دست صفحه نهشته شدند. نتایج نشان داد که در طول مؤثر یک‌پنجم عرض مجرماً به‌ازای عدد فرود ۰/۲۵۳ شروع رسوب‌گذاری در فاصله‌ی حدود ۱ برابر طول مؤثر (۱۴/۱۴ سانتی‌متر) در پایین دست محل نصب سازه می‌باشد. در طول مؤثر یک‌هفتم عرض

به‌طور متوسط فاصله‌ی پشتۀ رسوب‌گذاری شده از ساحل بیرونی طول‌های مؤثر یک‌سوم، یک‌چهارم، یک‌پنجم و یک‌هفتم عرض مجرماً به‌ترتیب ۲، ۵، ۸ و ۱/۴ درصد عرض فلوم می‌باشد. همان‌گونه که ملاحظه می‌کنید فاصله‌ی رسوب‌گذاری از ساحل بیرونی برای طول‌های مؤثر یک‌پنجم و یک‌هفتم اختلاف کمی با یکدیگر دارند. به‌طور متوسط فاصله‌ی پشتۀ رسوب‌گذاری شده از ساحل بیرونی طول‌های مؤثر یک‌سوم، یک‌چهارم، یک‌پنجم و یک‌هفتم عرض مجرماً به‌ترتیب ۰/۲۵، ۰/۲۱، ۰/۲۱ و ۰/۱ طول مؤثر سازه می‌باشد.

نتیجه‌گیری

در این تحقیق به بررسی تأثیر تغییرات طول مؤثر تک‌صفحه مثلثی شکل بر الگوی فرسایش و رسوب‌گذاری اطراف آن تحت شرایط هیدرولیکی متفاوت در فلوم قوسی ملایم ۹۰ درجه پرداخته شد. مشاهدات نشان داد که تک‌صفحه‌ی مثلثی باعث انحراف جریان از ساحل بیرونی به طرف مرکز فلوم شد و با تشکیل جریان ثانویه‌ی پاد ساعتگرد از برخورد جریان ثانویه‌ی معمول قوس (ساعتگرد) و در نتیجه جریان حلزونی به ساحل بیرونی جلوگیری کرد و بدین طریق از فرسایش ساحل بیرونی جلوگیری می‌کند. در

دوم انجام شده است. بدین و سیله از معاونت پژوهشی دانشگاه شهید چمران اهواز تشكر و قدردانی می شود.

علائم و نشانه ها

- = عرض مgra
- d_{84} = اندازه ای که ۸۴ درصد وزنی ذرات از آن کوچکترند
- d_{50} = اندازه متوسط مصالح بستر
- d_{16} = اندازه ای که ۱۶ درصد وزنی ذرات از آن کوچکترند
- L_e = طول مؤثر سازه
- R = شعاع مرکزی قوس
- S_1 = فاصله ای حداقل عمق آب شستگی از ساحل بیرونی
- S_2 = حداقل فاصله ای پشتی رسوبر گذاری شده از ساحل بیرونی
- Z_{max} = حداقل عمق آب شستگی
- F_r = عدد فرود جریان
- θ = زاویه موقعيت قرارگیری سازه در قوس
- σ = ضریب انحراف استاندارد رسوبات

مجزا به ازای اعداد فرود ۰/۲۳۳ و ۰/۲۵۳ به علت برخورد چاله ای فرسایشی پایین دست محور سازه با ساحل بیرونی پایین دست سازه، فاصله ای شروع رسوب گذاری از محل نصب سازه در ساحل بیرونی بترتیب حدود ۰/۸ و ۲ برابر طول مؤثر (۷/۷ و ۰/۵۷ متر) سازه می باشد. در سایر اعداد فرود و نیز در سایر طول های مؤثر، شروع رسوب گذاری در همان محل نصب سازه در ساحل بیرونی ($\theta = 72^0$) می باشد. در ضمن نتایج نشان دادند که با کاهش طول مؤثر سازه حداقل فاصله ای پشتی رسوبی از ساحل بیرونی کاهش یافت. فاصله ای پشتی رسوبی از ساحل بیرونی در طول های مؤثر یک پنجم و یک هفتم عرض مgra اختلاف اندکی با هم داشتند. به طور متوسط فاصله ای پشتی رسوب گذاری شده از ساحل بیرونی طول های مؤثر یک سوم، یک چهارم، یک پنجم و یک هفتم عرض مgra به ترتیب ۰/۲۵، ۰/۲۱، ۰/۰۱ و ۰/۰۱ برابر طول مؤثر سازه بود.

تشکر و قدردانی

این تحقیق با حمایت مالی از محل پژوهانه نویسنده

مراجع

۱. حسینی، ا.، حبیبی، م.، و صابری، ا.، "ارزیابی فنی و اقتصادی اپیهای احداث شده بر روی رودخانه زنجانرود"، طرح تحقیقاتی، پژوهشکده حفاظت خاک و آبخیزداری، تهران، شماره ای ثبت ۲۶/۸۳ (۱۳۸۳).
۲. صانعی، م.، بنی هاشمی، م.ع.، و قربان خانی، ح.، "بررسی آزمایشگاهی اثر تک شدگی و زاویه در کاهش آب شستگی اولین آب شکن"، پنجمین کنفرانس هیدرولیک ایران، دانشکده مهندسی دانشگاه شهید باهنر، کرمان، ص ۱۰۸۹-۱۰۹۷ (۱۳۸۴).
۳. پیرزاده، ب.، و شاملو، ح.، "شبیه سازی عددی اثر زاویه استقرار آب شکن بر طول ناحیه جدایی جریان پشت آن"، هشتمین سمینار بین المللی مهندسی رودخانه، دانشگاه شهید چمران اهواز، (۱۳۸۸).
۴. واقفی، م.، قدسیان، م.، و صالحی نیشابوری، ع.، "بررسی تغییرات زمانی آب شستگی اطراف آب شکن T شکل در قوس ۹۰ درجه"، دانشکده علوم کشاورزی و منابع طبیعی گرگان، مجله پژوهش های حفاظت آب و خاک، جلد شانزدهم، شماره ای اول، ص ۱۰۵-۱۰۶، (۱۳۸۸)، ۷۹.
۵. دهقانی، ا.ا.، بزرگذری، م.، فضل اولی، ر.، ضیاء تبارحمدی، م.، "مطالعه آزمایشگاهی آب شستگی موضعی اطراف سری آب شکن های L شکل"، مجله پژوهش های حفاظت آب و خاک، دانشگاه علوم کشاورزی و منابع طبیعی گرگان، جلد شانزدهم، شماره ای سوم، ص ۱۶۲-۱۴۱ (۱۳۸۸).
۶. موسوی، ب.، صانعی، م.، سلاجقه، ع.، و معتمد وزیری، ب.، "بررسی آزمایشگاهی تأثیر موقعيت آب شکن در کاهش فرسایش کناره ای رودخانه"، نهمین کنفرانس هیدرولیک ایران، دانشگاه تربیت مدرس، (۱۳۸۹).

۷. عباسپور، م.، واقفی، م.، و قد سیان، م.، "بررسی اثر نسبت استغرق آب شکن های T شکل م مستقر در قوس ۹۰ درجه بر توپوگرافی بستر"، نهمین کنفرانس هیدرولیک ایران، دانشگاه تربیت مدرس، (۱۳۸۹).
8. Ghodsian, M., and Tehrani, A., "Scour Around Groins", *International Journal of Sediment Research*, Vol.16, N.1, PP. 60-68, (2001).
9. Kothyari, U. C., and Ranga Raju, K. G., "Scour around spur-dikes and bridge abutments", *Journal of Hydraulic Research*, Vol.39, pp. 367–374, (2001).
10. Zhicong, C., Pengfei, H., and Xiang, D., "Turbulence intensity measurement in the backflow region around a spur dike", *Journal of Tsinghua Univ(Sci&Tech)*, Vol.12, PP. 2053-2056, (2008).
11. Ghodsian, M., and Vaghefi, M., "Experimental study on scour and flow field in a scour hole around a T-shape spur dike in a 90 bend", *International Journal of Sediment Research*, Elsevier, Vol. 24, N. 2, PP.145-158, (2009).
12. Gu, Z. P., Akahori, R., and Ikeda, S., "Study on the transport of suspended sediment in an open channel flow with permeable spur dikes", *International Journal of Sediment Research*, Vol. 26, Issue. 1, PP. 96-111, (2011).
13. Zhang, H., Nakagawa, H., and Mizutani, H., "Bed morphology and grain size characteristics around a spur dyke", *International Journal of Sediment Research*, Vol. 27, Issue. 2, PP. 141-157, (2012).
۱۴. عزیزی، ر.، شفاعی بجستان، م.، قمشی، م.، و موسوی جهرمی، ح.، "تأثیر شکل صفحه‌ی مستغرق بر آب شستگی موضعی و الگوی رسوب‌گذاری در کانال‌های آبرفتی"، مجله‌ی دانش آب و خاک، دانشگاه تبریز، جلد ۲۲، شماره‌ی ۲، ص ۶۷-۷۸. (۱۳۹۱).
15. Bhuiyan, F., Hey, R. D., and Wormleaton, P. R., "Bank-Attached Vanes for Bank Erosion Control and Restoration of River Meanders", *Journal of Hydraulic Engineering*, Vol. 136, No. 9, PP. 583-596. (2010).
۱۶. بهرامی یاراحمدی، م.، شفاعی بجستان، م.، موسوی جهرمی، ح.، "مقایسه‌ی عملکرد سازه‌های اصلاح‌کننده‌ی الگوی جریان در قوس‌ها"، کنفرانس بین‌المللی عمران معماری و توسعه‌ی پایداری شهری، تبریز، (۱۳۹۲).
۱۷. بهرامی یاراحمدی، م.، شفاعی بجستان، م.، دوستکام، م.، و زرگرزاده، س.، "مطالعه‌ی جابه‌جایی چاله‌ی فرسایشی در قوس ملایم ۹۰ درجه با حضور صفحات مثلثی شکل"، دوازدهمین کنفرانس هیدرولیک ایران، دانشگاه تهران، (۱۳۹۲).
18. Johnson, P. A., Hey, R. D., Tessier, M., and Rosgen, D. L., "Use of vanes for control of scour at vertical wall abutments", *J. Hydraul. Eng.*, Vol.127, N. 9, PP. 772–778, (2001).
19. Lagasse, P. F., Zevenbergen, L. W., Schall, J. D., Cooper, P. E., "Bridge scour and stream instability countermeasures", Rep. No. FHWA-NH1-01-003, Hydraulic Engineering Circular N° 23(HEC-23), 2nd Ed., Office of Bridge Technology, Federal Highway Administration, Washington, D.C, (2001).
۲۰. موسوی، ک.، و قد سیان، م.، "بررسی آزمایشگاهی تأثیر انحنای نسبی کanal بر آب شستگی بستر در خم ۹۰ درجه"، مجله‌ی علمی پژوهشی عمران مدرس، دوره‌ی دهم، شماره‌ی ۲، ص ۱۴۴-۱۳۵. (۱۳۸۹).